

КРАТКИЕ СООБЩЕНИЯ

УДК 541.272:548.737

КРИСТАЛЛИЧЕСКАЯ И МОЛЕКУЛЯРНАЯ СТРУКТУРА (4-ХЛОРФЕНИЛСУЛЬФОНИЛ)АЦЕТАТА N-МЕТИЛ-БИС(2-ГИДРОКСИЭТИЛ)АММОНИЯ

**М.Г. Воронков¹, В.С. Фундаменский², С.Н. Адамович¹, Э.А. Зельбест³,
А.А. Кашаев¹, В.А. Брусков², Р.Г. Мирсков¹, А.Н. Мирскова¹**

¹Иркутский институт химии им. А.Е. Фаворского СО РАН

²Санкт-Петербургский технологический университет

³Восточносибирская государственная академия образования, Иркутск

E-mail: zelbst@rambler.ru

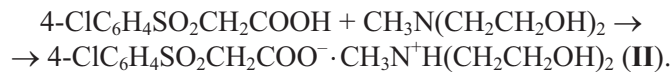
Статья поступила 9 февраля 2012 г.

Методом рентгеновской дифракции изучена кристаллическая и молекулярная структура 4-хлорфенилсульфонилацетата N-метил-бис(2-гидроксиэтил)аммония — $4\text{-ClC}_6\text{H}_4\text{SO}_2\text{CH}_2\text{COO}^- \cdot \text{CH}_3\text{N}^+(\text{CH}_2\text{CH}_2\text{OH})_2$, синтезированного взаимодействием 4-хлорфенилсульфонилуксусной кислоты с N-метил-бис(2-гидроксиэтил)аммином.

Ключевые слова: 4-хлорфенилсульфонилуксусная кислота, N-метил-бис(2-гидроксиэтил)амин, ионная жидкость, молекулярная структура, рентгеноструктурный анализ.

В процессе исследования биологически активных производных арилгетероуксусных кислот $\text{ArYCH}_2\text{COOH}$ ($\text{Y} = \text{O, S, SO}_2$) [1—9] была установлена кристаллическая и молекулярная структура 4-хлорфенилсульфанилацетата три(2-гидроксиэтил)аммония — $4\text{-ClC}_6\text{H}_4\text{SCH}_2\text{COO}^- \cdot \text{N}^+(\text{CH}_2\text{CH}_2\text{OH})_3$ (**I**), имеющего строение протатрана [10]. Развивая эти исследования, мы синтезировали его аналог — 4-хлорфенилсульфонилацетат N -метил-бис(2-гидроксиэтил)аммоний — квазипротатран (**II**) и методом рентгеновской дифракции (РД) установили его кристаллическую и молекулярную структуру.

Экспериментальная часть. II получен взаимодействием 4-хлорфенилсульфонил-уксусной кислоты с N-метил-бис(2-гидроксиэтил)амином с выходом 98 %:



Соединение **II** (бесцветный порошок с $T_{\text{пл}}$ 76 °C) состоит из протонированного катиона амина и аниона кислоты, что характерно для строения типичных ионных жидкостей. В настоящее время к ионным жидкостям относят и твердые вещества с $T_{\text{пл}} \leq 100$ °C [11]. ИК (ν , см⁻¹): 1360, 1585 (COO⁻), 1139, 1315 (SO₂), 3160 (OH). ЯМР ¹H (δ , м.д., CD₃OD, ГМДС): 7,94—7,58 (к, 4H, C₆H₄), 3,85 (т, 4H, OCH₂), 3,30 (т, 4H, NCH₂), 2,95 (с, 3H, NCH₃); ЯМР ¹³C: 168,06 (C=O), 140,99—130,24 (C₆H₄), 64,10 (SO₂CH₂), 58,96 (OCH₂), 56,68 (NCH₂), 41,82 (NCH₃); ЯМР ¹⁵N (отн. CH₃NO₂): -340,43. Исходный N-метил-бис(2-гидроксиэтил)амин: -354,00, $\Delta\delta$ = 14 м.д. Слабопольное смещение химического сдвига ¹⁵N свидетельствует о протонировании атома азота: N⁺H [12].

Перекристаллизацией **II** из метанола (20 °C) получены монокристаллы. Пригодные для дифрактометрического эксперимента образцы были отобраны фотометодом. Монокристаллы соединения **II** исследовались при температуре 296 К на автоматическом дифрактометре Bruker

**Основные кристаллографические характеристики соединения II
и детали структурного решения и уточнения**

Валовая формула	C ₁₃ H ₂₀ O ₆ N ₁ Cl ₁ S ₁
Молекулярный вес	353,85
Сингония	Триклинная
Пр. группа	P-1
<i>a</i> , <i>b</i> , <i>c</i> , Å	7,422(4), 7,616(4), 14,567(8)
α , β , γ , град.	85,44(4), 83,52(4), 89,07(4)
<i>V</i> , Å ³	815,6(8)
<i>Z</i>	2
Плотность, г/см ³	1,441
<i>F</i> (000)	372
ϑ_{\max} /гр.	40,0
Кол-во измер. / независ. рефлексов	4002 / 1331(<i>F</i> > 3 σ_F)
<i>R</i> ₁ , <i>wR</i> ₂ , GOOF	0,0469, 0,0437, 1,114

APEX-II с CCD (50 кВ, 35 мА, излучение MoK_α, графитовый монохроматор, мультислойевая оптика). Структура **II** решена прямым методом и уточнена полноматричным МНК в анизотропном приближении для неводородных атомов на программном комплексе SIR-2008. Позиции водородных атомов, которые можно было определить расчетным путем, уточнялись в изотропном приближении, используя модель жесткого тела. Позиции остальных водородных атомов определены из разностного Фурье-синтеза и в дальнейшем не уточнялись. CIF-файлы, содержащие полную информацию о структуре **II**, депонированы в CCDC, № 863881 (www.ccdc.cam.ac.uk/data_request/cif). В таблице приведены кристаллографические характеристики и детали структурного решения и уточнения.

Обсуждение результатов. В независимой части элементарной ячейки квазипротатрана **II** находятся 2 аниона 4-ClC₆H₄SO₂CH₂COO⁻ (A и A') и 2 катиона CH₃N⁺(CH₂CH₂OH)₂ (K и K'), рис. 1. В анионах A и A' длины связей Cl—C (1,741(9) и 1,738(6) Å) одинаковы и хорошо совпадают со средней длиной связи Cl—C(арил) (1,737(4) Å) [13]. Это межатомное расстояние практически такое же, как в анионе протатрана **I** — 1,746(5) Å [10]. Атом хлора находится в плоскости бензольного цикла в обоих независимых анионах. В анионе A атом серы выходит из этой плоскости на 0,16 Å, а в A' — лишь на 0,063 Å. Длина связи C(арил)—S в обоих анионах одинакова 1,770(9) Å.

Координационный полиэдр атома серы — несколько искаженный тетраэдр, с характерными для него валентными углами (103—112°) и длинами связей S—CH₂ (1,72 Å) и S—O (1,42 Å). Длины связей S—O в обоих анионах одинаковы, а углы OSO различны — 117,7 и 121,0°, очевидно из-за особенностей упаковки.

Геометрия групп COO⁻ обоих анионов идентична. Длины связей C—O в A и A' одинаковы — C17—O8 1,24(2), C17—O10 1,235(10) Å в A и C15—O11 1,242(20), C15—O12 1,237(15) Å в A', а углы O=C—O близки — 126,5 и 128,8°. Аналогичные соотношения этих параметров наблюдали в анионе протатрана **I**, что свидетельствует о делокализации отрицательного заряда в группе COO⁻ [10].

Строение катионов K и K' в **II** идентично. В отличие от протатрана **I**, в катионе **II** один из двух гидро-

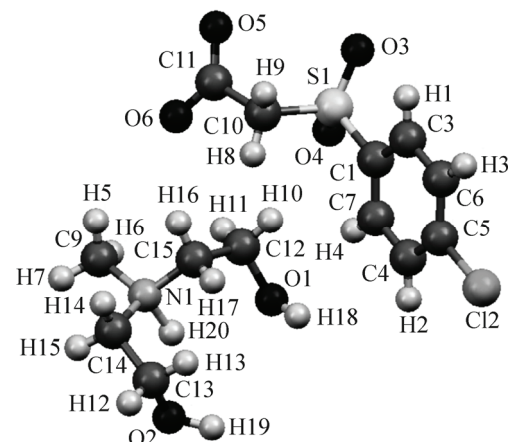


Рис. 1. Анион A и катион K соединения II

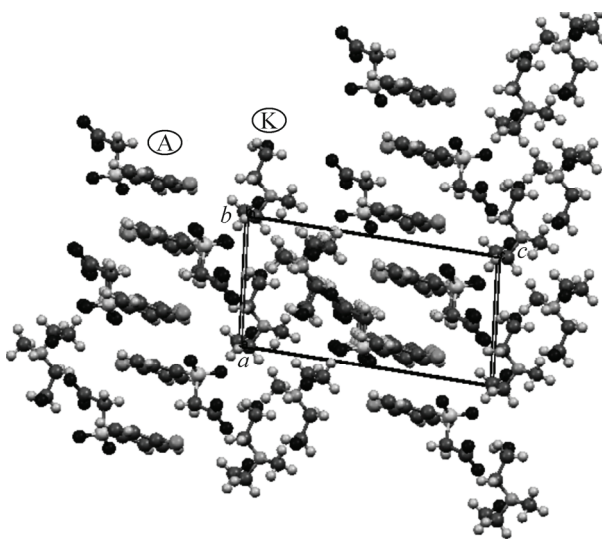


Рис. 2. Упаковка анионов А и катионов К в кристалле II, направление (010)

ксиэтильных фрагментов $\text{CH}_2\text{CH}_2\text{OH}$ заменен группой CH_3 . Координационными полигидрами атомов N1 и N2 в катионах является тетраэдр с вершинами C14, C26, C28 и НЭП атома азота для N1, и в катионе K' вершины координационного тетраэдра занимают 3 атома углерода (C13, C25, C27) и 1 атом водорода H37, проявившийся на карте разностного синтеза электронной плотности. От атома O1, принадлежащего катиону K', атом N1 находится на расстоянии 2,809 Å, которое несколько короче суммы ван-дер-ваальсовых радиусов этих атомов [14].

Геометрия катионов K и K' в II не имеет существенных различий: длины связей N—C близки (1,490—1,494 Å), C—C (1,49—1,52 Å), C—O (1,41—1,42 Å); валентные углы атомов N и C тетраэдрические. Близкие к II геометрические характеристики имеет катион в I [10], а также нейтральная молекула триэтаноламина [15]. Так же, как и в молекуле триэтаноламина в свободной и протонированной формах, в катионах K и K' две оксиэтильные группы повернуты в одном направлении.

В катионах K и K' атомы азота выходят из плоскостей, проведенных через атомы принадлежащих им атомов углерода на одинаковую величину ΔN (0,40 и 0,46 Å соответственно). Эти плоскости в кристалле почти параллельны, угол между ними составляет 3,5°. Такое же или близкое значение ΔN имеют все известные протатраны, в I $\Delta N = 0,44$ Å.

Низкая симметрия (пр. гр. P1) позволяет описать упаковку молекул в кристалле II как бесконечные ленты чередующихся анионов (A и A') и катионов (K и K'). Водородные связи между группами OH катиона и COO аниона объединяют в ионные пары катион—анион, которыми заполнено кристаллическое пространство (рис. 2). Такая структура стабилизирована электростатическим взаимодействием между электроотрицательными атомами кислорода и положительно заряженным атомом азота N1 соседнего катиона.

Внутримолекулярные H...O в катионе K' равны или больше нормального ван-дер-ваальсова значения 2,45 Å, как и невалентные N...O несколько больше или равны сумме их радиусов 2,78 Å [14], их значения 3,096 и 2,940 Å в катионе K и 2,77 и 2,89 Å — в K'. Возможно, замена одной из гидроксиэтильных групп на метильную делает геометрию катионов более "рыхлой", а межионные водородные связи в кристалле II упрочняют упаковку (см. рис. 2).

СПИСОК ЛИТЕРАТУРЫ

1. Воронков М.Г., Барышок В.П. // Вестник РАН. – 2010. – **80**, вып. 11. – С. 985.
2. Мирскова А.Н., Левковская Г.Г., Мирсков Р.Г. и др. // Журн. орган. химии. – 2008. – **44**, № 10. – С. 1501.
3. Мирскова А.Н., Левковская Г.Г., Колесникова О.П. и др. // Изв. РАН. Сер. хим. – 2010. – № 12. – С. 2181. (Mirskova A.N., Levkovskaya G.G., Kolesnikova O.P. et al. // Russ. Chem. Bull. International Ed. (Engl. Transl.). – 2010. – **59**, N 12. – P. 2236.)
4. Колесникова О.П., Мирскова А.Н., Адамович С.Н. и др. // Докл. РАН. – 2009. – **425**, № 4. – С. 556. (Kolesnikova O.P., Mirskova A.N., Adamovich S.N. et al. // Russ. J. Dokl. Biol. Sci. (Engl. Transl.). – 2009. – **425**. – P. 107.)
5. Воронков М.Г., Софронов Г.А., Старченко Д.А., Адамович С.Н. и др. // Докл. РАН. – 2009. – **428**, № 1. – С. 125. (Voronkov M.G., Sofronov G.A., Starchenko D.A., Adamovich S.N. et al. // Russ. J. Dokl. Biol. Sci. (Engl. Transl.) – 2009. – **428**. – P. 398.)

6. Мирскова А.Н., Адамович С.Н., Мирсков Р.Г. и др. // Докл. РАН. – 2010. – **433**, № 5. – С. 710. (Mirskova A.N., Adamovich S.N., Mirskov R.G. et al. // Russ. J. Dokl. Biol. Sci. (Engl. Transl.). – 2010. – **433**. – P. 244).
7. Мирскова А.Н., Мирсков Р.Г., Адамович С.Н. и др. // Докл. РАН. – 2010. – **435**, № 4. – С. 561. (Mirskova A.N., Mirskov R.G, Adamovich S.N. et al. // Russ. J. Dokl. Biol. Sci. (Engl. Transl.). – 2010. – **435**. – P. 390).
8. Колесникова О.П., Мирскова А.Н., Адамович С.Н. и др. // Бюлл. СО РАМН. – 2010. – **6**. – С. 12.
9. Мирскова А.Н., Мирсков Р.Г., Адамович С.Н. и др. // Химия в интересах устойч. развития. – 2011. – **19**. – С. 467.
10. Шкловер В.Е., Гридуниова Г.В., Стручков Ю.Т. и др. // Докл. РАН. – 1983. – **269**, № 2. – С. 387.
11. Pejkovic M., Seddon K.R., Rebello et al. // Chem. Soc. Rev. – 2011. – **40**. – P. 1383.
12. Duthaler R.O., Roberts J.D. // J. Amer. Chem. Soc. – 1978. – **100**. – P. 3889.
13. Palenik G.J., Donohue J., Trueblood K.N. // Acta. Crystallogr. – 1968. – **B24**, № 6. – P. 1139.
14. Зефиров Ю.В., Зоркий П.М. // Журн. структур. химии. – 1976. – **17**, № 6. – С. 994.
15. Mootz D., Brodalla D., Wiebske M. // Acta Crystallogr. C. – 1989. – **45**. – P. 754.